

# 堆積モデル説明書

2015/12/09

# Chapter1 一次元堆積モデル

## 1.1 Biogenic silica and clay

この章では鉛直一次元堆積モデルの定式化について説明する。主に *Chikamoto and Yamanaka* (2005) を参考にした。

### 1.1.1 No dissolution / No bioturbation

まず始めに、Clay と Opal の堆積過程を考える。方程式系は、

$$\begin{aligned}\frac{\partial S_{\text{Clay}}}{\partial t} &= \frac{\partial}{\partial z}(w S_{\text{Clay}}) \\ \frac{\partial S_{\text{Opal}}}{\partial t} &= \frac{\partial}{\partial z}(w S_{\text{Opal}}) \\ \frac{\partial w}{\partial z} &= 0\end{aligned}$$

である。 $S_{\text{Clay}}, S_{\text{Opal}}$  の単位は、それぞれ  $(\text{g}/\text{m}^3), (\text{mmol}/\text{m}^3)$  を用いる。

境界条件は、

$$\begin{aligned}w|_{z=0} &= (\text{total}) \text{ sedimentation rate } (= F_{\text{Clay}}/\rho_{\text{Clay}} + F_{\text{Opal}}/(\rho_{\text{Opal}} \cdot M_{\text{Opal}}^{-1})) \\ w S_{\text{Clay}}|_{z=0} &= F_{\text{Clay}} \text{ (g m}^{-2} \text{ yr)} \\ w S_{\text{Opal}}|_{z=0} &= F_{\text{Opal}} \text{ (mmol m}^{-2} \text{ yr)}\end{aligned}$$

である。ここで、Clay の密度、Opal の密度およびモル質量は、それぞれ

$$\begin{aligned}\rho_{\text{Clay}} &= 2.75 \text{ g/cm}^3 \\ \rho_{\text{Opal}} &= 2.20 \text{ g/cm}^3 \\ M_{\text{Opal}} &= 60 \text{ g/mol}\end{aligned}$$

である。堆積層の深さは 100 cm とし、各層の厚さは  $\Delta z = 0.5$  cm として、200 層をとる。 $\Delta t = 1$  day である。Clay および Opal の重量パーセントは、それぞれ

$$P_{\text{Clay}} = \frac{S_{\text{Clay}}}{S_{\text{Clay}} + S_{\text{Opal}} \cdot M_{\text{Opal}}} \times 100 (\%)$$

$$P_{\text{Opal}} = \frac{S_{\text{Opal}}}{S_{\text{Clay}} + S_{\text{Opal}} \cdot M_{\text{Opal}}} \times 100 (\%)$$

である。

方程式を差分化することを考える。

$$\frac{\partial S}{\partial t} = \frac{\partial}{\partial z}(wS)$$

を差分化すると、

$$\frac{S_k^{n+1} - S_k^n}{\Delta t} = \frac{w_k \cdot S_k^n - w_{k+1} \cdot S_{k+1}^n}{\Delta z}$$

となる。ここで、up-wind の場合には、

$$S_{\bar{k}} = \begin{cases} S_{k-1} & (w_k > 0) \\ S_k & (w_k < 0) \end{cases}$$

であり、wighted up-wind の場合には、

$$S_{\bar{k}} = \begin{cases} \alpha \cdot S_{k-1} + (1 - \alpha) \cdot S_k & (w_k > 0) \\ (1 - \alpha) \cdot S_k + \alpha \cdot S_k & (w_k < 0) \end{cases}$$

である。

境界条件は、

$$w_1 \cdot S_1 = F_{\text{Clay or Opal}} \begin{cases} 9075 & \mu\text{g}/\text{cm}^2 \cdot \text{yr} \\ 120 & \mu\text{mol}/\text{cm}^2 \cdot \text{yr} \end{cases}$$

を与える。また、連続の式

$$\frac{\partial w}{\partial z} = 0$$

より、 $w_{k+1} = w_k$  である。境界条件より、

$$w_1 = \text{sedimentation rate}$$

$$\left( = F_{\text{Clay}}/\rho_{\text{Clay}} + F_{\text{Opal}}/(\rho_{\text{Opal}} \cdot M_{\text{Opal}}^{-1}) \right)$$

$$\left( = 3.3 \times 10^{-3} \text{ cm/yr} \right)$$

となる。

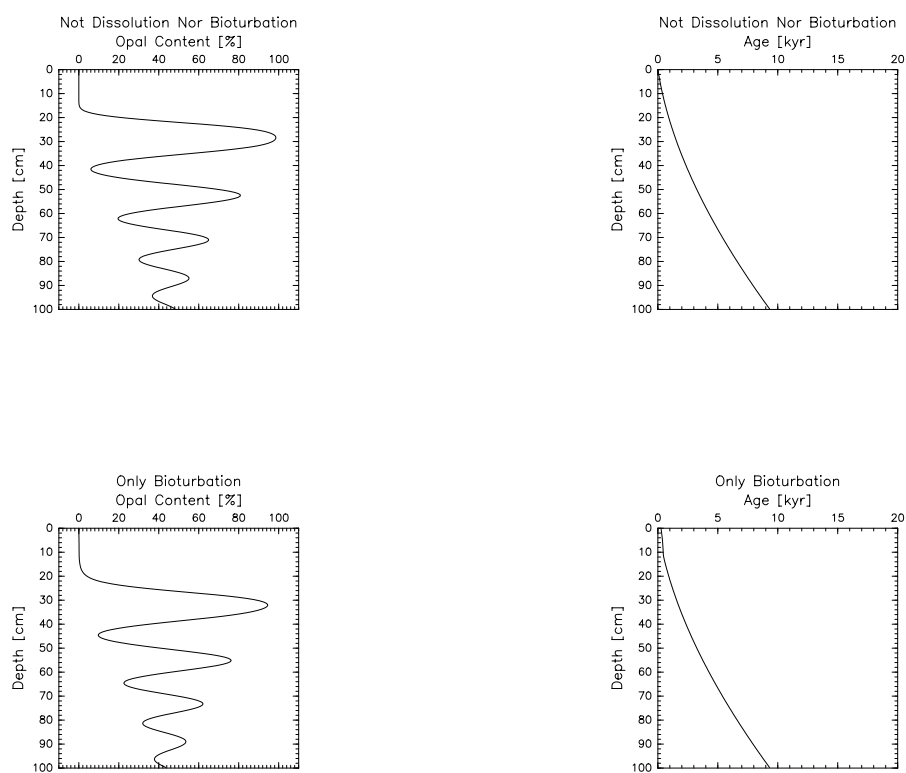


Figure 1.1.1: Not Dissolution Nor Bioturbation. Only Bioturbation.

### 1.1.2 No dissolution

Clay と Opal の堆積過程を考える。生物擾乱による拡散を考慮する。ここで、層に占める液体部分の割合である  $\phi$  : porosity を導入する。

$$\begin{aligned}\frac{\partial}{\partial t}\{(1-\phi)S_{\text{Clay}}\} &= \frac{\partial}{\partial z}\left\{(1-\phi)wS_{\text{Clay}}\right\} + \frac{\partial}{\partial z}\left\{(1-\phi)D_B\frac{\partial S_{\text{Clay}}}{\partial z}\right\} \\ \frac{\partial}{\partial t}\{(1-\phi)S_{\text{Opal}}\} &= \frac{\partial}{\partial z}\left\{(1-\phi)wS_{\text{Opal}}\right\} + \frac{\partial}{\partial z}\left\{(1-\phi)D_B\frac{\partial S_{\text{Opal}}}{\partial z}\right\} \\ \frac{\partial}{\partial z}\{(1-\phi)w\} &= 0\end{aligned}$$

である。 $\phi$  は、一定の鉛直分布を与えることとし、

$$\phi = \phi_0 \cdot \exp\left(-\frac{z}{z_0}\right) \quad (\phi_0 = 0.9, \quad z_0 = 182.3 \text{ cm})$$

とする。また、 $D_B$  は、mixing coefficient of bioturbation で、その分布は、

$$D_B(z) = \frac{D_B^0}{1 + \exp\{2(z - z_B)\}} \quad (D_B^0 = 0.3 \text{ cm}^2/\text{yr}, \quad z_B = 10 \text{ cm})$$

とする (Berner, 1980)。

境界条件は、

$$\begin{aligned}(1-\phi)w|_{z=0} &= (\text{total}) \text{ sedimentation rate} \\ &= (F_{\text{Clay}}/\rho_{\text{Clay}} + F_{\text{Opal}}/(\rho_{\text{Opal}} \cdot M_{\text{Opal}}^{-1})) \\ (1-\phi)wS_{\text{Clay}}|_{z=0} &= F_{\text{Clay}} \text{ } (\mu\text{g}/\text{cm}^2/\text{yr}) \\ (1-\phi)wS_{\text{Opal}}|_{z=0} &= F_{\text{Opal}} \text{ } (\mu\text{g}/\text{cm}^2/\text{yr})\end{aligned}$$

である。

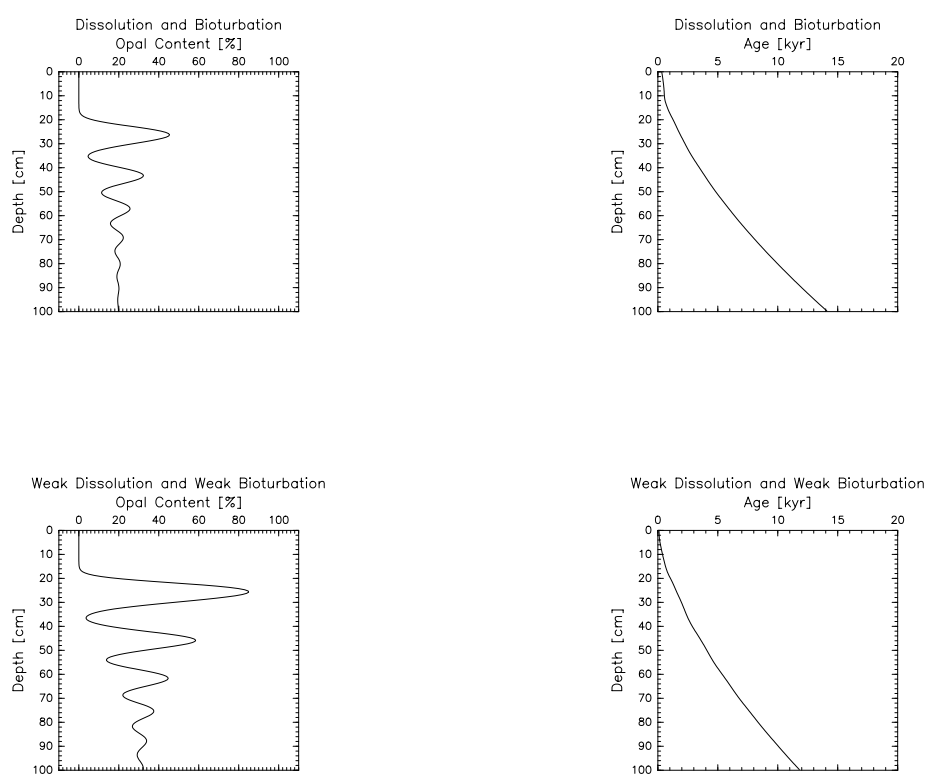


Figure 1.1.2: Dissolution and Bioturbation. Weak Dissolution and Weak Bioturbation.

### 1.1.3 Dissolution and Bioturbation

Clay と Opal の堆積過程を考える。生物擾乱による拡散および、溶解過程を考慮する。

$$\begin{aligned}\frac{\partial}{\partial t}\{(1-\phi)S_{\text{Clay}}\} &= \frac{\partial}{\partial z}\left\{(1-\phi)wS_{\text{Clay}}\right\} + \frac{\partial}{\partial z}\left\{(1-\phi)D_B\frac{\partial S_{\text{Clay}}}{\partial z}\right\} \\ \frac{\partial}{\partial t}\{(1-\phi)S_{\text{Opal}}\} &= \frac{\partial}{\partial z}\left\{(1-\phi)wS_{\text{Opal}}\right\} + \frac{\partial}{\partial z}\left\{(1-\phi)D_B\frac{\partial S_{\text{Opal}}}{\partial z}\right\} - (1-\phi)R_{\text{Opal}}S_{\text{Opal}} \\ \frac{\partial}{\partial x}\{(1-\phi)w\} &= -(1-\phi)R_{\text{Opal}} \\ \frac{\partial}{\partial t}\{\phi C_{\text{Si(OH)4}}\} &= \frac{\partial}{\partial z}\left\{\phi D_E\frac{\partial C_{\text{Si(OH)4}}}{\partial z}\right\} + (1-\phi)R_{\text{Opal}}S_{\text{Opal}}\end{aligned}$$

である。  $D_E$  は effective molecular diffusivity で、

$$D_E = \phi^{n-1} \cdot D_{SW}$$

と与える。  $D_{SW} = 4.59 \times 10^{-6} \text{ cm}^2/\text{s}$ ,  $n = 2.5$  である (Hensen et al., 1998; Ridgwell et al., 2002)。

境界条件は、

$$\begin{aligned}(1-\phi)w\Big|_{z=0} &= (\text{total}) \text{ sedimentation rate} \\ &= (F_{\text{Clay}}/\rho_{\text{Clay}} + F_{\text{Opal}}/(\rho_{\text{Opal}} \cdot M_{\text{Opal}}^{-1})) \\ (1-\phi)wS_{\text{rmClay}}\Big|_{z=0} &= F_{\text{Clay}} \text{ } (\mu\text{g}/\text{cm}^2/\text{yr}) \\ (1-\phi)wS_{\text{Opal}}\Big|_{z=0} &= F_{\text{Opal}} \text{ } (\mu\text{g}/\text{cm}^2/\text{yr}) \\ C_{\text{Si(OH)4}}\Big|_{z=0} &= C_{WO} \text{ (Opal concentration in freshwater)} \\ \frac{\partial C_{\text{Si(OH)4}}}{\partial z}\Big|_{z=z_{\text{Bottom}}} &= 0\end{aligned}$$

である。

$z = z_{\text{Bottom}}$  において、  $w < 0$  ならば、

$$\begin{aligned}\frac{\partial S_{\text{Clay}}}{\partial z}\Big|_{z=z_{\text{Bottom}}} &= 0 \\ S_{\text{Opal}}\Big|_{z=z_{\text{Bottom}}} &= 0\end{aligned}$$

とする。つまり、  $z > z_{\text{Bottom}}$  には、 Clay のみが存在すると仮定する。

$R_{\text{Opal}}$  は Opal dissolution rate ( $\text{yr}^{-1}$ ) で、簡単化して、

$$R_{\text{Opal}}(z) = \begin{cases} k_0 \cdot \left( \frac{[\text{Si}(\text{OH})_4]^{\text{sat}}(z) - [\text{Si}(\text{OH})_4](z)}{[\text{Si}(\text{OH})_4]^{\text{sat}}(z)} \right) & ([\text{Si}(\text{OH})_4] < [\text{Si}(\text{OH})_4]^{\text{sat}}) \\ 0 & ([\text{Si}(\text{OH})_4] > [\text{Si}(\text{OH})_4]^{\text{sat}}) \end{cases}$$

と与える。 $k_0 \sim 0.032 \text{ yr}^{-1}$ ,  $[\text{Si}(\text{OH})_4]^{\text{sat}} \sim 1000 \mu\text{mol l}^{-1} = 1.0 \mu\text{mol}/\text{cm}^3$  である。さらに、 $R_{\text{Opal}}(z)$  の表現について、温度、圧力依存性を考慮する。まず始めに、

$$u_{\text{Opal}}(z) = \left( \frac{[\text{Si}(\text{OH})_4]^{\text{sat}}(z) - [\text{Si}(\text{OH})_4](z)}{[\text{Si}(\text{OH})_4]^{\text{sat}}(z)} \right)$$

とする。Al の存在は、ケイ酸の溶解度に影響を与える。よって、

$$\gamma_{\text{Al}} = \begin{cases} 0.2 & \frac{P^{\text{Detrial}}}{P^{\text{Opal}}} > 15 \\ 1.0 - \left( 0.045 \frac{P^{\text{Detrial}}}{P^{\text{Opal}}} \right)^{0.58} & \frac{P^{\text{Detrial}}}{P^{\text{Opal}}} \leq 15 \end{cases}$$

とすると、

$$[\text{Si}(\text{OH})_4]^{\text{sat}}(z) = \gamma_{\text{Al}} 10^{\left(6.44 - \frac{968}{T(z)}\right)}$$

となる。 $P^{\text{Detrial}}$  および  $P^{\text{Opal}}$  は Detrial material、Opal の重量パーセント (wt%) である。次に、

$$\begin{aligned} \eta_{1 \text{ Opal}}(z) &= 0.225 \left( 1 + \frac{T}{15} \right) u_{\text{Opal}}(z) + 0.775 \left[ \left( 1 + \frac{T}{400} \right)^4 u_{\text{Opal}}(z) \right]^{9.25} \\ \eta_{2 \text{ Opal}}(z) &= 0.26 + 0.74 e^{-\frac{z}{7.0}} \end{aligned}$$

を導入し、まとめると  $[\text{Si}(\text{OH})_4] < [\text{Si}(\text{OH})_4]^{\text{sat}}$  の場合に

$$R_{(z)}^{\text{Opal}} = \eta_1(z) \eta_2(z) k_0 u(z)$$

と書ける (*Ridgwell et al.*, 2002)。



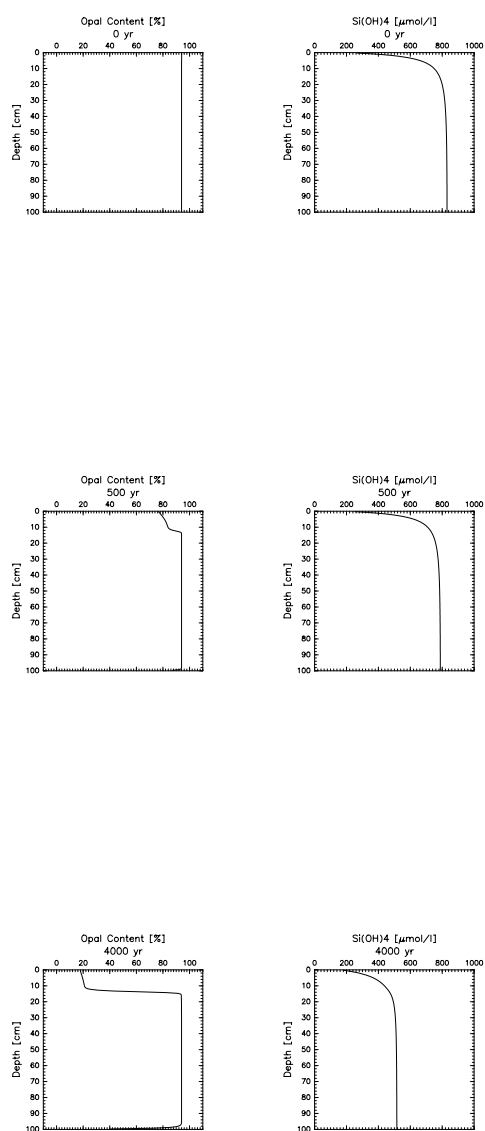


Figure 1.1.3: Dissolution and Bioturbation. Weak Dissolution and Weak Bioturbation.

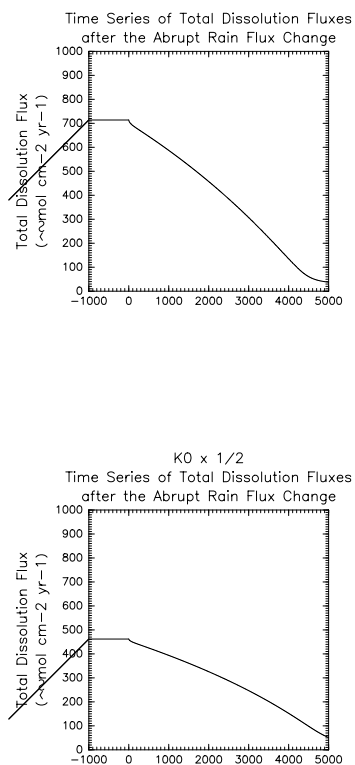


Figure 1.1.4: Time series of the total dissolution flux of biogenic silica.

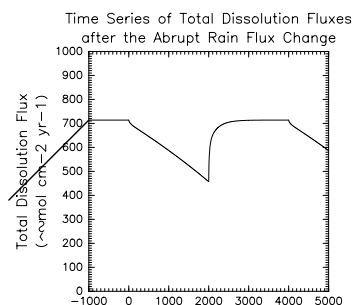


Figure 1.1.5: Time series of the total dissolution flux of biogenic silica.

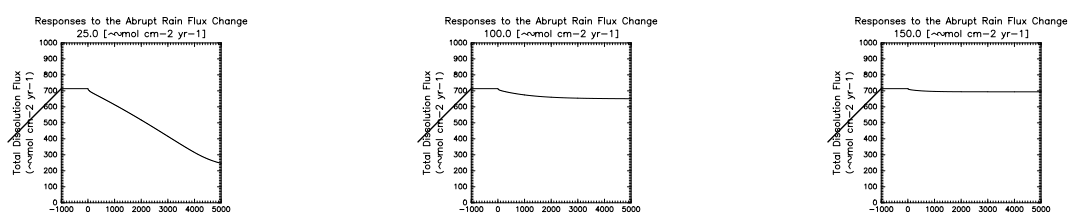


Figure 1.1.6: Time series of the total dissolution flux of biogenic silica.

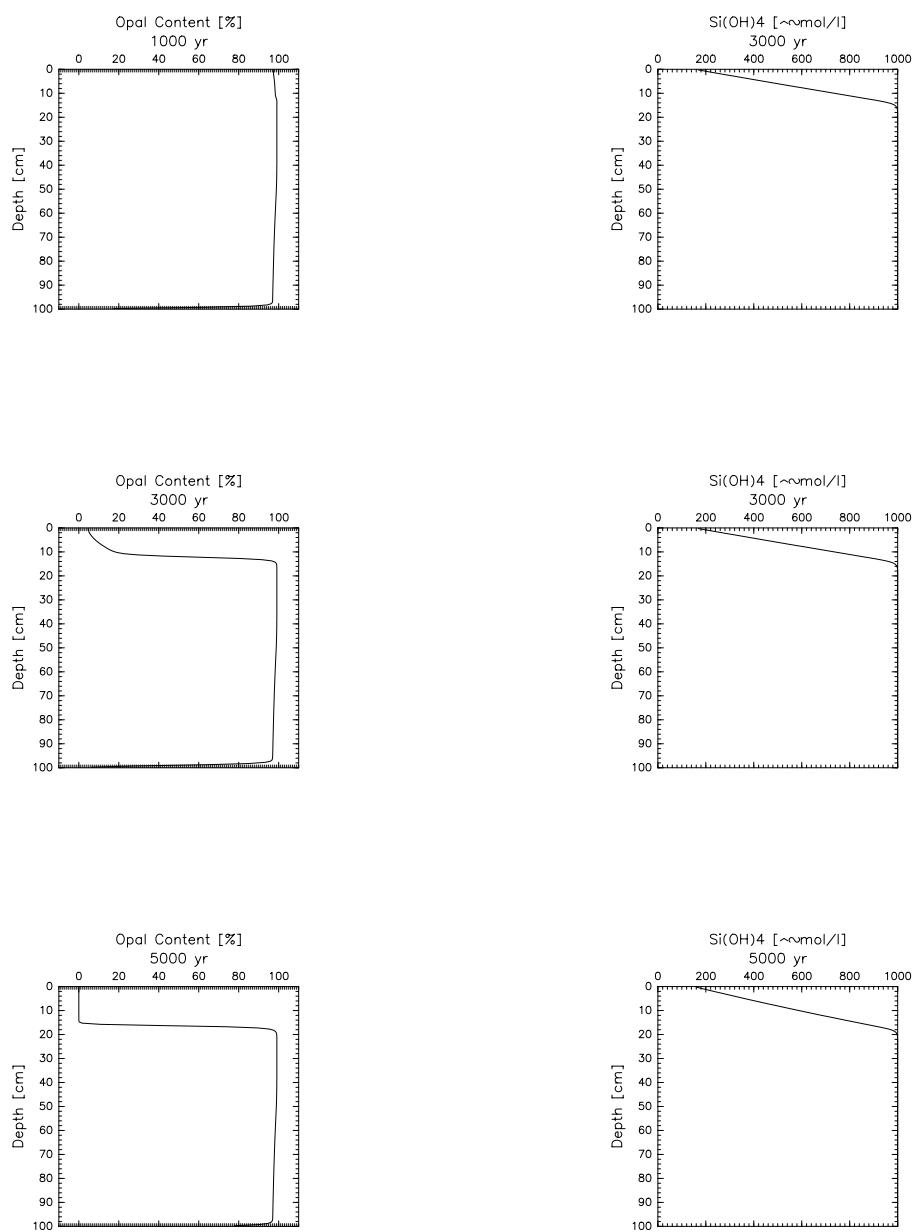


Figure 1.1.7: Time series of the total dissolution flux of biogenic silica.

## Chapter2 二次元堆積モデル

### 2.1 Equations

モデル内で扱う予報変数は以下である。POM は POC として考える。

- Clay, POM,  $\text{CaCO}_3$ , Opal: 固体 4 種
- $\text{PO}_4$ , DIC, Alk,  $\text{O}_2$ ,  $\text{Si(OH)}_4$ : 液体 5 種

固体の単位は、Clay が  $(\text{g}/\text{m}^3)$ 、それ以外が  $(\text{mmol}/\text{m}^3)$  を用いる。液体の単位は、 $(\text{mmol}/\text{m}^3)$  を用いる。

$$\begin{aligned}
\frac{\partial}{\partial t}\{(1-\phi)S_{\text{Clay}}\} &= \frac{\partial}{\partial z}\left\{(1-\phi)wS_{\text{Clay}}\right\} + \frac{\partial}{\partial z}\left\{(1-\phi)D_B\frac{\partial S_{\text{Clay}}}{\partial z}\right\} \\
\frac{\partial}{\partial t}\{(1-\phi)S_{\text{POM}}\} &= \frac{\partial}{\partial z}\left\{(1-\phi)wS_{\text{POM}}\right\} + \frac{\partial}{\partial z}\left\{(1-\phi)D_B\frac{\partial S_{\text{POM}}}{\partial z}\right\} - (1-\phi)R_{\text{POM}}S_{\text{POM}} \\
\frac{\partial}{\partial t}\{(1-\phi)S_{\text{CaCO}_3}\} &= \frac{\partial}{\partial z}\left\{(1-\phi)wS_{\text{CaCO}_3}\right\} + \frac{\partial}{\partial z}\left\{(1-\phi)D_B\frac{\partial S_{\text{CaCO}_3}}{\partial z}\right\} - (1-\phi)R_{\text{CaCO}_3}S_{\text{CaCO}_3} \\
\frac{\partial}{\partial t}\{(1-\phi)S_{\text{Opal}}\} &= \frac{\partial}{\partial z}\left\{(1-\phi)wS_{\text{Opal}}\right\} + \frac{\partial}{\partial z}\left\{(1-\phi)D_B\frac{\partial S_{\text{Opal}}}{\partial z}\right\} - (1-\phi)R_{\text{Opal}}S_{\text{Opal}} \\
\frac{\partial\{(1-\phi)w\}}{\partial z} &= -(1-\phi)(R_{\text{POM}}S_{\text{POM}} + R_{\text{CaCO}_3}S_{\text{CaCO}_3} + R_{\text{Opal}}S_{\text{Opal}}) \\
\frac{\partial\{\phi C_{\text{PO}_4}\}}{\partial t} &= \frac{\partial}{\partial z}\left\{\phi D_E\frac{\partial C_{\text{PO}_4}}{\partial z}\right\} + \mathcal{R}_{\text{PO}_4}/\mathcal{R}_C \cdot (1-\phi)R_{\text{POM}}S_{\text{POM}} \\
\frac{\partial\{\phi C_{\text{DIC}}\}}{\partial t} &= \frac{\partial}{\partial z}\left\{\phi D_E\frac{\partial C_{\text{DIC}}}{\partial z}\right\} + (1-\phi)R_{\text{POM}}S_{\text{POM}} + (1-\phi)R_{\text{CaCO}_3}S_{\text{CaCO}_3} \\
\frac{\partial\{\phi C_{\text{Alk}}\}}{\partial t} &= \frac{\partial}{\partial z}\left\{\phi D_E\frac{\partial C_{\text{Alk}}}{\partial z}\right\} - (1-\phi)R_{\text{POM}}S_{\text{POM}} + 2 \cdot (1-\phi)R_{\text{CaCO}_3}S_{\text{CaCO}_3} \\
\frac{\partial\{\phi C_{\text{O}_2}\}}{\partial t} &= \frac{\partial}{\partial z}\left\{\phi D_E\frac{\partial C_{\text{O}_2}}{\partial z}\right\} - \mathcal{R}_{\text{O}_2}/\mathcal{R}_C \cdot (1-\phi)R_{\text{POM}}S_{\text{POM}} \\
\frac{\partial\{\phi C_{\text{Si(OH)}_4}\}}{\partial t} &= \frac{\partial}{\partial z}\left\{\phi D_E\frac{\partial C_{\text{Si(OH)}_4}}{\partial z}\right\} + (1-\phi)R_{\text{Opal}}S_{\text{Opal}}
\end{aligned}$$

である。

$D_B$  は、mixing coefficient of bioturbation で、その分布は、

$$D_B(z) = \frac{D_B^0}{1 + \exp\{2(z - z_B)\}} \quad (D_B^0 = 0.3 \text{ cm}^2/\text{yr}, \quad z_B = 10 \text{ cm})$$

とする (Berner, 1980)。

$D_E$  は effective molecular diffusivity である。Hensen *et al.* (1998) および Ridgwell *et al.* (2002) において、その分布は、

$$D_E = \phi^{n-1} \cdot D_{\text{SW}}$$

であり、 $D_{\text{SW}} = 4.59 \times 10^{-6} \text{ cm}^2/\text{s}$ ,  $n = 2.5$  である。また、Archer *et al.* (2002) では、 $D_E = D_c/F$  の形で与えている。 $D_c$  はそれぞれの溶存物質の分子拡散係数で下の表に示す。 $F$  は formation factor である。

$$F = \frac{1}{\phi^m}$$

で決定され、Archer *et al.* (2002) では、 $m = 3$  を用いている (Ullman and Aller, 1982)。本研究では、後者の形を選ぶ。

### 2.1.1 境界条件

$$\begin{aligned}
 (1 - \phi)w|_{z=0} &= (\text{total}) \text{ sedimentation rate} \\
 (1 - \phi)wS_{\text{Clay}}|_{z=0} &= F_{\text{Clay}} \text{ (g/m}^2 \cdot \text{m/yr)} \\
 (1 - \phi)wS|_{z=0} &= F \text{ (POM, CaCO}_3, \text{Opal) (mmol/m}^2 \cdot \text{m/yr)} \\
 C|_{z=0} &= C_W \text{ (PO}_4, \text{DIC, Alk, O}_2, \text{Si(OH)}_4\text{) (mmol/m}^2 \cdot \text{m/yr)} \\
 \left. \frac{\partial C}{\partial z} \right|_{z=z_{\text{Bottom}}} &= 0 \text{ (PO}_4, \text{DIC, Alk, O}_2, \text{Si(OH)}_4\text{)}
 \end{aligned}$$

である。ここで、 $C_W(c)$  は海底におけるそれぞれの溶存物質の濃度である。

$z = z_{\text{Bottom}}$  において、 $w < 0$  ならば、

$$\begin{aligned}
 \left. \frac{\partial S_{\text{Clay}}}{\partial z} \right|_{z=z_{\text{Bottom}}} &= 0 \\
 S_{\text{POM}}|_{z=z_{\text{Bottom}}} &= 0 \\
 S_{\text{CaCO}_3}|_{z=z_{\text{Bottom}}} &= 0 \\
 S_{\text{Opal}}|_{z=z_{\text{Bottom}}} &= 0
 \end{aligned}$$

とする。つまり、 $z > z_{\text{Bottom}}$  には、clay のみが存在すると仮定する。

### 2.1.2 Dissolution terms

$R_{\text{Opal}}$  は Opal dissolution rate ( $\mu\text{mol cm}^{-2} \text{ s}^{-1}$ ) で、簡単化して、

$$R_{\text{Opal}} = \begin{cases} \eta_{1(z)}^{\text{Opal}} \eta_{2(z)}^{\text{Opal}} k_0 u_{(z)}^{\text{Opal}} & ([\text{Si(OH)}_4] < [\text{Si(OH)}_4]^{\text{sat}}) \\ 0 & ([\text{Si(OH)}_4] > [\text{Si(OH)}_4]^{\text{sat}}) \end{cases}$$

と与える。あるいは、*Archer et al.* (1993) より、

$$R_{\text{Opal}} = \begin{cases} r_{\text{Opal}} \cdot \left( [\text{Si(OH)}_4]^{\text{sat}} - [\text{Si(OH)}_4] \right) & ([\text{Si(OH)}_4] < [\text{Si(OH)}_4]^{\text{sat}}) \\ 0 & ([\text{Si(OH)}_4] = [\text{Si(OH)}_4]^{\text{sat}}) \end{cases}$$

と与える。  $r_{\text{Opal}} = 5.0 \times 10^{-6} \text{ cm}^3 \text{ mol}^{-1} \text{ s}^{-1}$  である。  $[\text{Si}(\text{OH})_4]^{\text{sat}}$  は Al の存在を考慮して、

$$\gamma_{\text{Al}} = \begin{cases} 0.2 & \frac{P^{\text{Detrial}}}{P^{\text{Opal}}} > 15 \\ 1.0 - \left( 0.045 \frac{P^{\text{Detrial}}}{P^{\text{Opal}}} \right)^{0.58} & \frac{P^{\text{Detrial}}}{P^{\text{Opal}}} \leq 15 \end{cases}$$

を用いて、

$$[\text{Si}(\text{OH})_4]^{\text{sat}}(z) = \gamma_{\text{Al}} 10^{\left( 6.44 - \frac{968}{T(z)} \right)}$$

である。

$R_{\text{POM}}$  は POM dissolution rate ( $\mu\text{mol cm}^{-2} \text{ s}^{-1}$ ) で、簡単化して、

$$R_{\text{POM}} = \begin{cases} k_{\text{OX}} & (C_{\text{O}_2} > 0) \\ k_{\text{AX}} & (C_{\text{O}_2} = 0) \end{cases}$$

と与える。  $k_{\text{OX}} = 2 \times 10^{-9} \text{ s}^{-1}$  (Archer, 1991),  $k_{\text{AX}} = 7.9 \times 10^{-11} \text{ s}^{-1}$  (Berner, 1980) である (Chikamoto et al., 2009)。

$R_{\text{CaCO}_3}$  は  $\text{CaCO}_3$  dissolution rate ( $\mu\text{mol}/\text{cm}^2 \cdot 1/\text{s}$ ) で、簡単化して、

$$R_{\text{CaCO}_3} = \begin{cases} r_{\text{CaCO}_3} \cdot \left( \frac{[\text{CO}_3^{2-}]^{\text{sat}} - [\text{CO}_3^{2-}]}{[\text{CO}_3^{2-}]^{\text{sat}}} \right)^n & ([\text{CO}_3^{2-}] < [\text{CO}_3^{2-}]^{\text{sat}}) \\ 0 & ([\text{CO}_3^{2-}] = [\text{CO}_3^{2-}]^{\text{sat}}) \end{cases}$$

と与える。  $r_{\text{CaCO}_3} = 1.0 \text{ day}^{-1}$  (Archer, 1991) で、  $n = 4.5$  (Keir, 1980) である (Chikamoto et al., 2009)。  $[\text{CO}_3^{2-}]$  は DIC, Alk から計算する。

パラメタ設定は、以下の文献を参照している。



Table 2.1: モデル中のパラメタとリファレンス

Symbol	Parameter	Value	Reference
$\rho$	Density of solid sediment components	$2.6 \text{ g cm}^{-3}$	(Heinze, 1999)
$M_{\text{POM}}$	Molar weight of POM	$32.74 \text{ g mol}^{-1}$	(Heinze, 1999)
$M_{\text{CaCO}_3}$	Molar weight of $\text{CaCO}_3$	$100.0 \text{ g mol}^{-1}$	(Heinze, 1999)
$M_{\text{Opal}}$	Molar weight of Opal for porewater silicic acid	$67.2 \text{ g mol}^{-1}$	(Heinze, 1999)
$\phi _{z=0}$	Porosity ( $z = 0$ )	0.9	(Bernier, 1980)
$z_0$	Porosity e-folding depth	182.3 cm	(Bernier, 1980)
$D_B _{z=0}$	Bioturbation diffusion coefficient ( $z = 0$ )	$3 \times 10^{-1} \text{ cm}^2 \text{ yr}^{-1}$	(Bernier, 1980)
$z_B$	Bioturbation diffusion e-folding depth	10.0 cm	(Bernier, 1980)
$D_c^{\text{PO}_4}$	Pore water diffusion coefficient	$5.00 \times 10^{-10} \text{ cm}^2 \text{ s}^{-1}$	(Archer et al., 2002)
$D_c^{\text{DIC}}$	Pore water diffusion coefficient	$6.40 \times 10^{-10} \text{ cm}^2 \text{ s}^{-1}$	(Archer et al., 2002)
$D_c^{\text{Alk}}$	Pore water diffusion coefficient	$6.40 \times 10^{-10} \text{ cm}^2 \text{ s}^{-1}$	(Archer et al., 2002)
$D_c^{\text{O}_2}$	Pore water diffusion coefficient	$1.20 \times 10^{-9} \text{ cm}^2 \text{ s}^{-1}$	(Archer et al., 2002)
$D_c^{\text{Si(OH)}_4}$	Pore water diffusion coefficient	$5.00 \times 10^{-10} \text{ cm}^2 \text{ s}^{-1}$	(Archer et al., 2002)
$D_{\text{SW}}$	Pore water diffusion coefficient	$4.59 \times 10^{-6} \text{ cm}^2 \text{ s}^{-1}$	(Ridgwell et al., 2002)
$N$	Pore water diffusion coefficient	2.5	(Ridgwell et al., 2002)
$r_{\text{Opal}}$	Rate constant for Opal redissolution	$5.0 \times 10^{-6} \text{ cm}^3 \text{ mol}^{-1} \text{ s}^{-1}$	(Archer et al., 1993)
$r_{\text{POM}}$	Rate constant for POM redissolution	$2.0 \times 10^{-9} \text{ s}^{-1}$	(Archer, 1991)
$r_{\text{POM}}$	Rate constant for POM redissolution	$7.9 \times 10^{-11} \text{ s}^{-1}$	(Bernier, 1980)
$r_{\text{CaCO}_3}$	Rate constant for $\text{CaCO}_3$ redissolution	$1.0 \text{ day}^{-1}$	(Archer, 1991)
$\mathcal{R}_{\text{PO}_4}$	Redfield coefficient for phosphate	1	(Anderson and Sarmiento, 1995)
$\mathcal{R}_{\text{O}_2}$	Redfield coefficient for oxygen	170	(Anderson and Sarmiento, 1995)
$\mathcal{R}_{\text{C}}$	Redfield coefficient for carbon	16	(Anderson and Sarmiento, 1995)

## 2.2 差分化

粒子トレーサーに関しては、生物擾乱による拡散項を陰的に解く。移流項、溶解項は、陽的に解く。溶存トレーサーに関しては、分子拡散による拡散項を陰的に解く。溶解項は、陽的に解く。オパールの系に関しては、まずケイ酸について溶解項も陰的に解く計算を実施し、そこから得られる  $n+1$  ステップの溶解項を用いてオパールの計算を行う。

POM のフラックスが大きな場所では、堆積速度とカップルした "振動" が見られるため、1 ステップ目の計算で得られたトレーサーの濃度を用いて、溶解項と堆

積速度を再計算し、改めて 2 ステップ目で時間発展した後のトレーサー濃度を算出する。

## Particles

解くべき式は、

$$\frac{\partial}{\partial t} \{ (1 - \phi) S \} = \frac{\partial}{\partial z} \left\{ (1 - \phi) w S \right\} + \frac{\partial}{\partial z} \left\{ (1 - \phi) D \frac{\partial S}{\partial z} \right\} - DIS$$

である。

まず移流項を QUICKEST を用いて差分化し、各層においてフラックスを求める。

$$\frac{(1 - \phi_k)(S_k^{n+1} - S_k^n)}{\Delta t} = \frac{(1 - \phi_{k-1/2})w_{k-1/2}S_{k-1/2}^n - (1 - \phi_{k+1/2})w_{k+1/2}S_{k+1/2}^n}{\Delta z_k} + \alpha$$

であり、

$$S_{k-1/2}^n = c_0 - c_1 \frac{w \Delta t}{2} + c_2 \left( \frac{w^2 \Delta t^2}{3} - \frac{\Delta z^2}{12} \right)$$

ここで、 $c_0, c_1, c_2$  について、

$$c_0 = \frac{\Delta z_k \times S_{k-1}^n + \Delta z_{k-1} \times S_k^n}{2 \times \Delta z_{k-1/2}} - \frac{\Delta z_{k-1} \times \Delta z_k}{4} \times c_2$$

$$c_1 = \frac{S_k^n - S_{k-1}^n}{\Delta z_{k-1/2}} + \frac{\Delta z_{k-1} - \Delta z_k}{2} \times c_2$$

$$c_2 = \frac{1}{\Delta z_{k-3/2} + \Delta z_{k-1/2}} \times \left\{ \frac{S_{k-2}^n - S_{k-1}^n}{\Delta z_{k-3/2}} - \frac{S_{k-1}^n - S_k^n}{\Delta z_{k-1/2}} \right\} \quad (w_{k-1/2} > 0)$$

$$c_2 = \frac{1}{\Delta z_{k-1/2} + \Delta z_{k+1/2}} \times \left\{ \frac{S_{k-1}^n - S_k^n}{\Delta z_{k-1/2}} - \frac{S_k^n - S_{k+1}^n}{\Delta z_{k+1/2}} \right\} \quad (w_{k-1/2} < 0)$$

である。ここで、 $S_{k-1/2}^{n+1}$  が  $S_{k-1}^n, S_k^n$  よりも小さくなる、あるいは大きくなる場合があるため、フラックスリミッターをかける。 $w_{k-1/2} > 0$  のとき、

$$\delta = S_k^n - S_{k-2}^n, \\ \gamma = \frac{S_k^n - S_{k-1}^n}{\Delta z_{k-1/2}} - \frac{S_{k-1}^n - S_{k-2}^n}{\Delta z_{k-3/2}}$$

であり、リミッターの基準は、

$$S_{k-1/2}^{n+1} = S_{k-1}^n \quad (|\gamma \Delta z_{k-1}| > |\delta|)$$

$$S_{k-1}^n \leq S_{k-1/2}^{n+1} \leq \min \left( S_{k-2}^n + \frac{S_{k-1}^n - S_{k-2}^n}{w_{k-1/2}} \Delta z_{k-1/2}, S_k^n \right) \quad (|\gamma \Delta z_{k-1}| < |\delta|, \delta > 0)$$

$$\max \left( S_{k-2}^n + \frac{S_{k-1}^n - S_{k-2}^n}{w_{k-1/2}} \Delta z_{k-1/2}, S_k^n \right) \leq S_{k-1/2}^{n+1} \leq S_{k-1}^n \quad (|\gamma \Delta z_{k-1}| < |\delta|, \delta < 0)$$

である。

また、 $w_{k-1/2} < 0$  のとき、

$$\begin{aligned}\delta &= S_{k-1}^n - S_{k+1}^n, \\ \gamma &= \frac{S_{k-1}^n - S_k^n}{\Delta z_{k-1/2}} - \frac{S_k^n - S_{k+1}^n}{\Delta z_{k+1/2}}\end{aligned}$$

であり、リミッターの基準は、

$$\begin{aligned}S_{k-1/2}^{n+1} &= S_k^n \quad (|\gamma \Delta z_k| > |\delta|) \\ S_k^n &\leq S_{k-1/2}^{n+1} \leq \min \left( S_{k+1}^n + \frac{S_k^n - S_{k+1}^n}{|w_{k-1/2}|} \Delta z_{k-1/2}, S_{k-1}^n \right) \quad (|\gamma \Delta z_k| < |\delta|, \delta > 0) \\ \max \left( S_{k+1}^n + \frac{S_k^n - S_{k+1}^n}{|w_{k-1/2}|} \Delta z_{k-1/2}, S_{k-1}^n \right) &\leq S_{k-1/2}^{n+1} \leq S_k^n \quad (|\gamma \Delta z_k| < |\delta|, \delta < 0)\end{aligned}$$

である。移流フラックスを以下のようにおく。

$$F_k^{adv} = (1 - \phi_k) w_k S_k$$

クランク・ニコルソン法 (Crank-Nicolson method) で差分化すると、

$$\begin{aligned}& \frac{(1 - \phi_k)(S_k^{n+1} - S_k^n)}{\Delta t} \\ &= \frac{1}{\Delta z_k} \left\{ \left[ (1 - \phi_{k-1/2}) D_{k-1/2} \frac{\partial S}{\partial z} \Big|_{k-1/2} \right] - \left[ (1 - \phi_{k+1/2}) D_{k+1/2} \frac{\partial S}{\partial z} \Big|_{k+1/2} \right] \right\} \\ & \quad - (1 - \phi_k) R_k^n S_k^n + \frac{F_{k-1/2}^{adv} - F_{k+1/2}^{adv}}{\Delta z_k} \\ &= \frac{1}{\Delta z_k} \left\{ \left[ (1 - \phi_{k-1/2}) D_{k-1/2} \frac{S_{k-1} - S_k}{\Delta z_{k-1/2}} \right] - \left[ (1 - \phi_{k+1/2}) D_{k+1/2} \frac{S_k - S_{k+1}}{\Delta z_{k+1/2}} \right] \right\} \\ & \quad - (1 - \phi_k) R_k^n S_k^n + \frac{F_{k-1/2}^{adv} - F_{k+1/2}^{adv}}{\Delta z_k}\end{aligned}$$

$$\begin{aligned}
& \frac{(1 - \phi_k)}{\Delta t} \{S_k^{n+1} - S_k^n\} \\
&= \left( \frac{(1 - \phi_{k-1/2})D_{k-1/2}}{\Delta z_k \Delta z_{k-1/2}} \right) S_{k-1} - \left( \frac{(1 - \phi_{k-1/2})D_{k-1/2}}{\Delta z_k \Delta z_{k-1/2}} \right) S_k \\
&\quad - \left( \frac{(1 - \phi_{k+1/2})D_{k+1/2}}{\Delta z_k \Delta z_{k+1/2}} \right) S_k + \left( \frac{(1 - \phi_{k+1/2})D_{k+1/2}}{\Delta z_k \Delta z_{k+1/2}} \right) S_{k+1} \\
&\quad - (1 - \phi_k) R_k^n S_k^n + \frac{F_{k-1/2}^{adv} - F_{k+1/2}^{adv}}{\Delta z_k} \\
&= \left( \frac{(1 - \phi_{k-1/2})D_{k-1/2}}{\Delta z_k \Delta z_{k-1/2}} \right) \frac{S_{k-1}^n + S_{k-1}^{n+1}}{2} - \left( \frac{(1 - \phi_{k-1/2})D_{k-1/2}}{\Delta z_k \Delta z_{k-1/2}} \right) \frac{S_k^n + S_k^{n+1}}{2} \\
&\quad - \left( \frac{(1 - \phi_{k+1/2})D_{k+1/2}}{\Delta z_k \Delta z_{k+1/2}} \right) \frac{S_k^n + S_k^{n+1}}{2} + \left( \frac{(1 - \phi_{k+1/2})D_{k+1/2}}{\Delta z_k \Delta z_{k+1/2}} \right) \frac{S_{k+1}^n + S_{k+1}^{n+1}}{2} \\
&\quad - (1 - \phi_k) R_k^n S_k^n + \frac{F_{k-1/2}^{adv} - F_{k+1/2}^{adv}}{\Delta z_k} \\
& \frac{(1 - \phi_k)}{\Delta t} \{S_k^{n+1} - S_k^n\} \\
&= \left( \frac{(1 - \phi_{k-1/2})D_{k-1/2}}{2\Delta z_k \Delta z_{k-1/2}} \right) (S_{k-1}^n + S_{k-1}^{n+1}) - \left( \frac{(1 - \phi_{k-1/2})D_{k-1/2}}{2\Delta z_k \Delta z_{k-1/2}} \right) (S_k^n + S_k^{n+1}) \\
&\quad - \left( \frac{(1 - \phi_{k+1/2})D_{k+1/2}}{2\Delta z_k \Delta z_{k+1/2}} \right) (S_k^n + S_k^{n+1}) + \left( \frac{(1 - \phi_{k+1/2})D_{k+1/2}}{2\Delta z_k \Delta z_{k+1/2}} \right) (S_{k+1}^n + S_{k+1}^{n+1}) \\
&\quad - (1 - \phi_k) R_k^n S_k^n + \frac{F_{k-1/2}^{adv} - F_{k+1/2}^{adv}}{\Delta z_k}
\end{aligned}$$

となる。ここで、

$$\begin{aligned}
\alpha &= \frac{(1 - \phi_k)}{\Delta t} \\
\beta &= \frac{(1 - \phi_{k-1/2})D_{k-1/2}}{2\Delta z_k \Delta z_{k-1/2}} \\
\gamma &= \frac{(1 - \phi_{k+1/2})D_{k+1/2}}{2\Delta z_k \Delta z_{k+1/2}}
\end{aligned}$$

とおくと、

$$\begin{aligned}
& -\beta S_{k-1}^{n+1} + (\alpha + \beta + \gamma) S_k^{n+1} - \gamma S_{k+1}^{n+1} \\
&= +\beta S_{k-1}^n + (\alpha - \beta - \gamma) S_k^n + \gamma S_{k+1}^n - (1 - \phi_k) R_k^n S_k^n + \frac{F_{k-1/2}^{adv} - F_{k+1/2}^{adv}}{\Delta z_k}
\end{aligned}$$

となる。よって、

$$\begin{bmatrix} \alpha + \beta + \gamma & -\gamma & & & \\ -\beta & \alpha + \beta + \gamma & -\gamma & & \\ & & \dots & & \\ & & & \dots & \\ & & & & -\beta & \alpha + \beta + \gamma & -\gamma \\ & & & & & -\beta & \alpha + \beta + \gamma \end{bmatrix} \begin{bmatrix} S_1^{n+1} \\ S_2^{n+1} \\ \dots \\ \dots \\ S_{N-1}^{n+1} \\ S_N^{n+1} \end{bmatrix} = \begin{bmatrix} \chi_1^n \\ \chi_2^n \\ \dots \\ \dots \\ \chi_{N-1}^n \\ \chi_N^n \end{bmatrix}$$

であり、ここで、

$$\chi_k^n = +\beta S_{k-1}^n + (\alpha - \beta - \gamma) S_k^n + \gamma S_{k+1}^n - (1 - \phi_k) R_k^n S_k^n + \frac{F_{k-1/2}^{adv} - F_{k+1/2}^{adv}}{\Delta z_k}$$

である。

また、陰解法で差分化すると、

$$\begin{aligned} & \frac{(1 - \phi_k)(S_k^{n+1} - S_k^n)}{\Delta t} \\ &= \frac{1}{\Delta z_k} \left\{ \left[ (1 - \phi_{k-1/2}) D_{k-1/2} \frac{\partial S}{\partial z} \Big|_{k-1/2} \right] - \left[ (1 - \phi_{k+1/2}) D_{k+1/2} \frac{\partial S}{\partial z} \Big|_{k+1/2} \right] \right\} \\ & \quad - (1 - \phi_k) R_k^n S_k^n + (F_{k-1/2}^{adv} - F_{k+1/2}^{adv}) \\ &= \frac{1}{\Delta z_k} \left\{ \left[ (1 - \phi_{k-1/2}) D_{k-1/2} \frac{S_{k-1} - S_k}{\Delta z_{k-1/2}} \right] - \left[ (1 - \phi_{k+1/2}) D_{k+1/2} \frac{S_k - S_{k+1}}{\Delta z_{k+1/2}} \right] \right\} \\ & \quad - (1 - \phi_k) R_k^n S_k^n + \frac{F_{k-1/2}^{adv} - F_{k+1/2}^{adv}}{\Delta z_k} \\ & \quad \frac{(1 - \phi_k)}{\Delta t} \{ S_k^{n+1} - S_k^n \} \\ & \quad = \left( \frac{(1 - \phi_{k-1/2}) D_{k-1/2}}{\Delta z_k \Delta z_{k-1/2}} \right) S_{k-1} - \left( \frac{(1 - \phi_{k-1/2}) D_{k-1/2}}{\Delta z_k \Delta z_{k-1/2}} \right) S_k \\ & \quad - \left( \frac{(1 - \phi_{k+1/2}) D_{k+1/2}}{\Delta z_k \Delta z_{k+1/2}} \right) S_k + \left( \frac{(1 - \phi_{k+1/2}) D_{k+1/2}}{\Delta z_k \Delta z_{k+1/2}} \right) S_{k+1} \\ & \quad - (1 - \phi_k) R_k^n S_k^n + \frac{F_{k-1/2}^{adv} - F_{k+1/2}^{adv}}{\Delta z_k} \\ & \quad = \left( \frac{(1 - \phi_{k-1/2}) D_{k-1/2}}{\Delta z_k \Delta z_{k-1/2}} \right) S_{k-1}^{n+1} - \left( \frac{(1 - \phi_{k-1/2}) D_{k-1/2}}{\Delta z_k \Delta z_{k-1/2}} \right) S_k^{n+1} \\ & \quad - \left( \frac{(1 - \phi_{k+1/2}) D_{k+1/2}}{\Delta z_k \Delta z_{k+1/2}} \right) S_k^{n+1} + \left( \frac{(1 - \phi_{k+1/2}) D_{k+1/2}}{\Delta z_k \Delta z_{k+1/2}} \right) S_{k+1}^{n+1} \\ & \quad - (1 - \phi_k) R_k^n S_k^n + \frac{F_{k-1/2}^{adv} - F_{k+1/2}^{adv}}{\Delta z_k} \end{aligned}$$

$$\begin{aligned}\alpha &= \frac{(1 - \phi_k)}{\Delta t} \\ \beta &= \frac{(1 - \phi_{k-1/2})D_{k-1/2}}{\Delta z_k \Delta z_{k-1/2}} \\ \gamma &= \frac{(1 - \phi_{k+1/2})D_{k+1/2}}{\Delta z_k \Delta z_{k+1/2}}\end{aligned}$$

とおくと、

$$\begin{aligned}-\beta S_{k-1}^{n+1} + (\alpha + \beta + \gamma)S_k^{n+1} - \gamma S_{k+1}^{n+1} \\ = \alpha S_k^n - (1 - \phi_k)R_k^n S_k^n + \frac{F_{k-1/2}^{adv} - F_{k+1/2}^{adv}}{\Delta z_k}\end{aligned}$$

となる。よって、

$$\begin{bmatrix} \alpha + \beta + \gamma & -\gamma & & & \\ -\beta & \alpha + \beta + \gamma & -\gamma & & \\ & & \dots & & \\ & & & \dots & \\ & & & & -\beta & \alpha + \beta + \gamma & -\gamma \\ & & & & & -\beta & \alpha + \beta + \gamma \end{bmatrix} \begin{bmatrix} S_1^{n+1} \\ S_2^{n+1} \\ \dots \\ \dots \\ S_{N-1}^{n+1} \\ S_N^{n+1} \end{bmatrix} = \begin{bmatrix} \chi_1^n \\ \chi_2^n \\ \dots \\ \dots \\ \chi_{N-1}^n \\ \chi_N^n \end{bmatrix}$$

であり、ここで、

$$\chi_k^n = \alpha S_k^n - (1 - \phi_k)R_k^n S_k^n + \frac{F_{k-1/2}^{adv} - F_{k+1/2}^{adv}}{\Delta z_k}$$

である。

## Dissolved material

解くべき式は、

$$\frac{\partial}{\partial t} \{ \phi C \} = \frac{\partial}{\partial z} \left\{ \phi D \frac{\partial C}{\partial z} \right\} + DIS$$

である。空間差分をクランク・ニコルソン法 (Crank-Nicolson method) で差分化すると、

$$\begin{aligned}\frac{\phi_k(C_k^{n+1} - C_k^n)}{\Delta t} &= \frac{1}{\Delta z_k} \left\{ \left[ \phi_{k-1/2} D_{k-1/2} \frac{\partial C}{\partial z} \right]_{k-1/2} - \left[ \phi_{k+1/2} D_{k+1/2} \frac{\partial C}{\partial z} \right]_{k+1/2} \right\} + DIS_k^n \\ &= \frac{1}{\Delta z_k} \left\{ \left[ \phi_{k-1/2} D_{k-1/2} \frac{C_{k-1} - C_k}{\Delta z_{k-1/2}} \right] - \left[ \phi_{k+1/2} D_{k+1/2} \frac{C_k - C_{k+1}}{\Delta z_{k+1/2}} \right] \right\} + DIS_k^n\end{aligned}$$

$$\begin{aligned}
\frac{\phi_k}{\Delta t} \{C_k^{m+1} - C_k^n\} &= \left( \frac{\phi_{k-1/2} D_{k-1/2}}{\Delta z_k \Delta z_{k-1/2}} \right) C_{k-1} - \left( \frac{\phi_{k-1/2} D_{k-1/2}}{\Delta z_k \Delta z_{k-1/2}} \right) C_k \\
&\quad - \left( \frac{\phi_{k+1/2} D_{k+1/2}}{\Delta z_k \Delta z_{k+1/2}} \right) C_k + \left( \frac{\phi_{k+1/2} D_{k+1/2}}{\Delta z_k \Delta z_{k+1/2}} \right) C_{k+1} \\
&\quad + DIS_k^n \\
&= \left( \frac{\phi_{k-1/2} D_{k-1/2}}{\Delta z_k \Delta z_{k-1/2}} \right) \frac{C_{k-1}^n + C_{k-1}^{m+1}}{2} - \left( \frac{\phi_{k-1/2} D_{k-1/2}}{\Delta z_k \Delta z_{k-1/2}} \right) \frac{C_k^n + C_k^{m+1}}{2} \\
&\quad - \left( \frac{\phi_{k+1/2} D_{k+1/2}}{\Delta z_k \Delta z_{k+1/2}} \right) \frac{C_k^n + C_k^{m+1}}{2} + \left( \frac{\phi_{k+1/2} D_{k+1/2}}{\Delta z_k \Delta z_{k+1/2}} \right) \frac{C_{k+1}^n + C_{k+1}^{m+1}}{2} \\
&\quad + DIS_k^n \\
\frac{\phi_k}{\Delta t} \{C_k^{m+1} - C_k^n\} &= \left( \frac{\phi_{k-1/2} D_{k-1/2}}{2\Delta z_k \Delta z_{k-1/2}} \right) (C_{k-1}^n + C_{k-1}^{m+1}) - \left( \frac{\phi_{k-1/2} D_{k-1/2}}{2\Delta z_k \Delta z_{k-1/2}} \right) (C_k^n + C_k^{m+1}) \\
&\quad - \left( \frac{\phi_{k+1/2} D_{k+1/2}}{2\Delta z_k \Delta z_{k+1/2}} \right) (C_k^n + C_k^{m+1}) + \left( \frac{\phi_{k+1/2} D_{k+1/2}}{2\Delta z_k \Delta z_{k+1/2}} \right) (C_{k+1}^n + C_{k+1}^{m+1}) \\
&\quad + DIS_k^n
\end{aligned}$$

となる。ここで、

$$\begin{aligned}
\alpha &= \frac{\phi_k}{\Delta t} \\
\beta &= \frac{\phi_{k-1/2} D_{k-1/2}}{2\Delta z_k \Delta z_{k-1/2}} \\
\gamma &= \frac{\phi_{k+1/2} D_{k+1/2}}{2\Delta z_k \Delta z_{k+1/2}}
\end{aligned}$$

とおくと、

$$-\beta C_{k-1}^{m+1} + (\alpha + \beta + \gamma) C_k^{n+1} - \gamma C_{k+1}^{n+1} = +\beta C_{k-1}^n + (\alpha - \beta - \gamma) C_k^n + \gamma C_{k+1}^n + DIS_k^n$$

となる。よって、

$$\begin{bmatrix}
\alpha + \beta + \gamma & -\gamma & & & \\
-\beta & \alpha + \beta + \gamma & -\gamma & & \\
& & \dots & & \\
& & & \dots & \\
& & & & -\beta & \alpha + \beta + \gamma & -\gamma \\
& & & & & -\beta & \alpha + \beta + \gamma
\end{bmatrix}
\begin{bmatrix}
C_1^{m+1} \\
C_2^{m+1} \\
\vdots \\
\vdots \\
C_{N-1}^{m+1} \\
C_N^{m+1}
\end{bmatrix}
=
\begin{bmatrix}
\chi_1^n \\
\chi_2^n \\
\vdots \\
\vdots \\
\chi_{N-1}^n \\
\chi_N^n
\end{bmatrix}$$

であり、ここで、

$$\chi_k^n = +\beta C_{k-1}^n + (\alpha - \beta - \gamma) C_k^n + \gamma C_{k+1}^n + DIS_k^n$$

である。

また、陰解法で差分化すると、

$$\begin{aligned}\alpha &= \frac{\phi_k}{\Delta t} \\ \beta &= \frac{\phi_{k-1/2} D_{k-1/2}}{\Delta z_k \Delta z_{k-1/2}} \\ \gamma &= \frac{\phi_{k+1/2} D_{k+1/2}}{\Delta z_k \Delta z_{k+1/2}}\end{aligned}$$

とおくと、

$$-\beta C_{k-1}^{n+1} + (\alpha + \beta + \gamma) C_k^{n+1} - \gamma C_{k+1}^{n+1} = \alpha C_k^n + DIS_k^n$$

となる。よって、

$$\begin{bmatrix} \alpha + \beta + \gamma & -\gamma & & & \\ -\beta & \alpha + \beta + \gamma & -\gamma & & \\ & & \dots & & \\ & & & \dots & \\ & & & & -\beta & \alpha + \beta + \gamma & -\gamma \\ & & & & & -\beta & \alpha + \beta + \gamma \end{bmatrix} \begin{bmatrix} C_1^{n+1} \\ C_2^{n+1} \\ \dots \\ \dots \\ C_{N-1}^{n+1} \\ C_N^{n+1} \end{bmatrix} = \begin{bmatrix} \chi_1^n \\ \chi_2^n \\ \dots \\ \dots \\ \chi_{N-1}^n \\ \chi_N^n \end{bmatrix}$$

であり、ここで、

$$\chi_k^n = \alpha C_k^n + DIS_k^n$$

である。



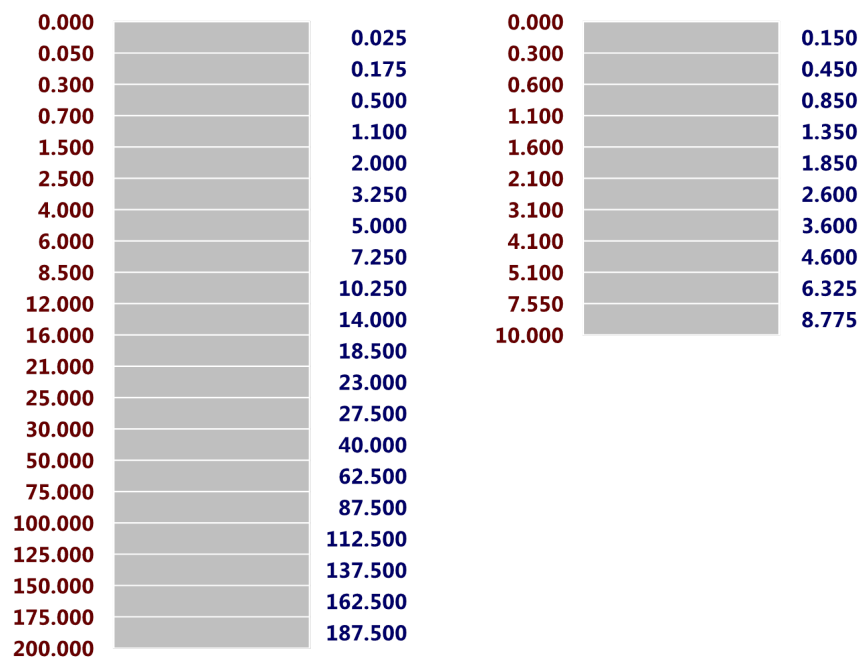


Figure 2.2.1: *Archer* (2003) および *Heinze* (1999) のグリッド配置。単位は (cm) である。

## 参考文献

- Anderson, L. A. and J. L. Sarmiento (1995), Global ocean phosphate and oxygen simulations, *Glob. Biogeochem. Cycles*, *9*(4), 621–636, doi: 10.1029/95GB01902
- Archer, D. E. (1991), Modeling the calcite lysocline, *J. Geophys. Res.*, *96*(C9), 17037, doi: 10.1029/91JC01812
- Archer, D., M. Lyle, K. Rodgers, and P. Froelich (1993), What Controls Opal Preservation in Tropical Deep-Sea Sediments?, *Paleoceanography*, *8*(1), 7–21, doi: 10.1029/92PA02803
- Archer, D. E., J. L. Morford, and S. R. Emerson (2002), A model of suboxic sedimentary diagenesis suitable for automatic tuning and gridded global domains, *Glob. Biogeochem. Cycles*, *16*(1), 1017, doi: 10.1029/2000GB001288
- Archer, D. E., P. A. Martin, J. Milovich, V. Brovkin, G. -K. Plattner, and C. Ashendel (2003), Model sensitivity in the effect of Antarctic sea ice and stratification on atmospheric  $p\text{CO}_2$ , *Paleoceanography*, *18*(1), 1012, doi: 10.1029/2002PA000760
- Berner, R. A. (1980), Early Diagenesis: A Theoretical Approach, *Princeton University Press*, 241 pp., doi:
- Chikamoto, M. O. and Y. Yamanaka (2005), Sedimentary responses to an abrupt change of biogenic silica flux by a sediment model for long timescale simulations, *J. Oceanogr.*, *61*(4), 733–746, doi: 10.1007/s10872-005-0080-9
- Chikamoto, M. O., K. Matsumoto, and Y. Yamanaka (2009), Influence of export rain ratio changes on atmospheric  $\text{CO}_2$  and sedimentary calcite preservation, *J. Oceanogr.*, *65*(2), 209–221, doi: 10.1007/s10872-009-0020-1
- Heinze, C. (1999), A global oceanic sediment model for long-term climate studies, *Glob. Biogeochem. Cycles*, *13*(1), 221–250, doi:10.1029/98GB02812
- Hensen, C., H. Landenberger, M. Zabel, and H. D. Schulz (1998), Quantification of diffusive benthic fluxes of nitrate, phosphate, and  $\text{Si(OH)}_4$  in the

- southern Atlantic Ocean, *Glob. Biogeochem. Cycles*, 12(1), 193–210, doi: 10.1029/97GB02731
- Keir, R. S. (1980), The dissolution kinetics of biogenic calcium carbonates in seawater, *Geochim Cosmochim. Acta.*, 44(2), 241–252, doi: 10.1016/0016-7037(80)90135-0
- Ridgwell, A. J., A. J. Watson, and D. E. Archer (2002), Modeling the response of the oceanic Si inventory to perturbation, and consequences for atmospheric CO<sub>2</sub>, *Glob. Biogeochem. Cycles*, 16(4), 1071, doi: 10.1029/2002GB001877
- Ullman, W. J. and R. C. Aller (1982), Diffusion coefficients in nearshore marine sediments, *Limnol. Oceanogr.*, 27(3), 552–556, doi: 10.4319/lo.1982.27.3.0552